

**ПРИМЕСНАЯ ПРОВОДИМОСТЬ В n -GaAs И n -InP
НА МЕТАЛЛИЧЕСКОЙ СТОРОНЕ ПЕРЕХОДА
МЕТАЛЛ—ДИЭЛЕКТРИК**

Воронина Т. И., Дахно А. Н., Емельяненко О. В.,
Лагунова Т. С., Старосельцева С. П.

Показана правомерность использования теории квантовых поправок к проводимости при анализе экспериментальных значений электропроводности при $T \leq 4.2$ К в кристаллах n -GaAs и n -InP с концентрацией электронов $n \geq 1.5 \cdot 10^{16}$ см $^{-3}$, т. е. при приближении к критической области перехода металл—диэлектрик, но при сохранении металлического типа проводимости.

Ряд особенностей в проводимости металла или примесного полупроводника на металлической стороне от перехода металл—диэлектрик (М—Д) объясняется теорией квантовых поправок к проводимости [1]. К сожалению, эта теория строго обоснована лишь на достаточном удалении от перехода, пока поправки малы. В последнее время, однако, ее начинают привлекать и вне области первоначального определения, вблизи перехода М—Д [2, 3]. Конечно, такой подход неприемлем непосредственно в критической области перехода, но вопрос, как долго поправки адекватно описывают реальность, крайне интересен.

В настоящей работе мы исследуем низкотемпературную примесную проводимость ($T=1.5 \div 4$ К) кристаллов n -GaAs, n -InP и ее концентрационную зависимость в интервале $n=10^{18} \div 10^{16}$ см $^{-3}$ при подходе к переходу М—Д с металлической стороны (критическая концентрация n_c составляет для n -GaAs около $1.2 \cdot 10^{16}$ см $^{-3}$, для n -InP около $1.5 \cdot 10^{16}$ см $^{-3}$). Благодаря простоте зоны проводимости и изученности механизмов рассеяния электронов классическая «больцмановская» проводимость этих кристаллов может быть точно рассчитана при любых температурах и концентрациях электронов. При этом эксперимент и теория полностью согласуются между собой, пока осуществляется классический перенос и концентрации электронов n или температуры T достаточно высоки. Однако при $n < 10^{17}$ см $^{-3}$ при низких температурах, несмотря на сохраняющийся металлический тип проводимости, наблюдается сильное уменьшение реальной электропроводности кристалла по сравнению со значениями, вычисленными по Больцману. Если предположить, что классический характер проводимости в этих кристаллах сохраняется и при низких температурах, то больцмановскую подвижность электронов $\bar{v}_B^{\text{теор}}$ не трудно рассчитать по обычной формуле Брукса—Херринга для рассеяния на ионах (приведенный уровень Ферми $\bar{\mu} = \mu/kT$ в образцах с металлической проводимостью при $1.5 \div 4.2$ К составляет $10 \div 15$ и более, т. е. электронный газ сильно вырожден). На основе $\bar{v}_B^{\text{теор}}$ легко рассчитать и теоретическую больцмановскую электропроводность,

и длину свободного пробега: $\sigma_B^{\text{теор}} = e\bar{v}_B^{\text{теор}} n$ и $l_B^{\text{теор}} = 3.38 \cdot 10^{-8} \bar{v}_B \sqrt{(m^*/m) \epsilon_F}$. Эти значения в зависимости от концентрации носителей тока представлены на рис. 1 и 2 (образцы были слабо компенсированы, концентрации электронов и доноров в них практически совпадают). Как видно, экспериментальные значения σ и l , начиная уже с $n \leq 2 \cdot 10^{17}$ см $^{-3}$, лежат ниже теоретических, и расхождение быстро растет с приближением к переходу М—Д, несмотря на сохранение металлического характера проводимости образцов. Примечательно, что длина свободного пробега, рассчитанная из экспериментальной подвижности l_s ,

не только меньше, чем $l_B^{\text{теор}}$, но при $n \leq 5 \cdot 10^{16} \text{ см}^{-3}$ меньше и межпримесного расстояния $a = n^{-1/3}$ (рис. 2), что несовместимо с «нормальной» металлической проводимостью.

Посмотрим теперь, что могут дать квантовые поправки, влияние которых на классическую проводимость σ_B учитывает с помощью параметра $k_F l$ формула [2, 3]:¹

$$\sigma^* = \sigma_B \left(1 - \frac{3}{(k_F l)^2} \right). \quad (1)$$

Если уменьшение σ^* по сравнению с σ_B связано только с квантовыми поправками, то величина σ_B , сосчитанная по σ^* с помощью формулы (1) и значений

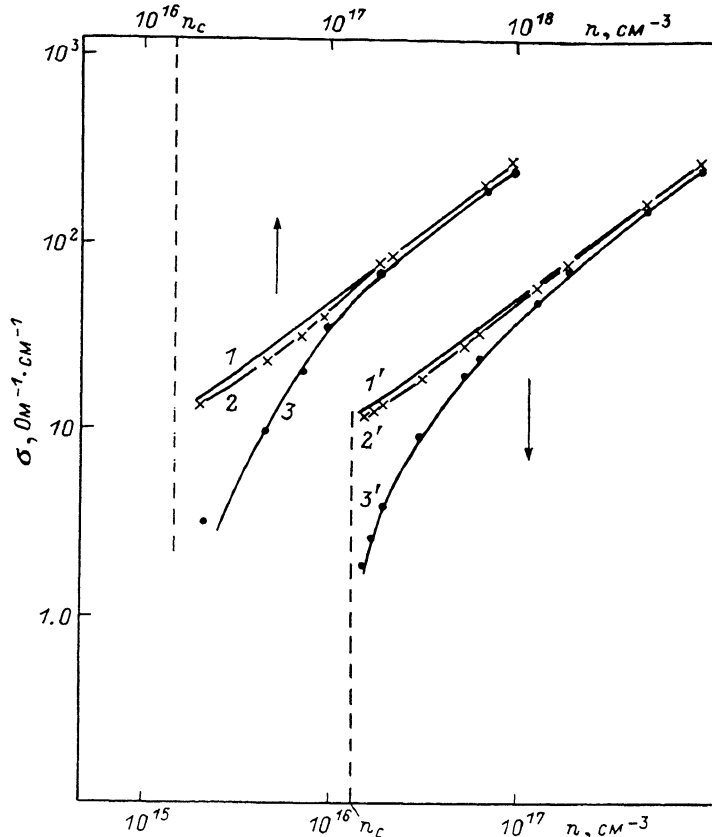


Рис. 1. Зависимость электропроводности от концентрации носителей тока в n -InP (1–3) и n -GaAs (1'–3').

1, 1' — теоретическая Больцмановская электропроводность, 2, 2' — Больцмановская электропроводность σ_B^* , полученная из экспериментальной с учетом квантовых поправок, 3, 3' — экспериментальные значения электропроводности; n_c — критическая концентрация.

$k_F l = 3.93 \cdot 10^4 \sigma_B n^{-1/3}$ для исследованных образцов, должна совпадать с $\sigma_B^{\text{теор}}$. Именно такой результат и был получен при расчете (рис. 1, ср. кривые 1 и 2). Естественно, что и значения l_B , полученные из σ_B , также совпали с $l_B^{\text{теор}}$ (рис. 2, кривые 1, 2).

Таким образом, особенности поведения σ_B и l_B вблизи перехода М—Д хорошо объясняются квантовыми поправками при всех концентрациях вплоть до критической области.

¹ В этой формуле σ_B — значение электропроводности при $T=0$ К; металлический характер проводимости позволял нам пользоваться значениями σ^* при $1.4 \div 4.2$ К или получать $\sigma_{T=0}$ экстраполяцией.

Величина l после учета квантовых поправок оказывается близкой к межпримесному расстоянию $a \approx n^{-1/3}$ и слабо зависит от концентрации n , что вблизи от перехода М—Д физически наиболее разумно (условие Иоффе—Регеля, $l \approx a$).

Степень близости к переходу М—Д теоретически определяется величиной $k_F l$, где k_F — волновой вектор на уровне Ферми; $k_F l \gg 1$ соответствует иде-

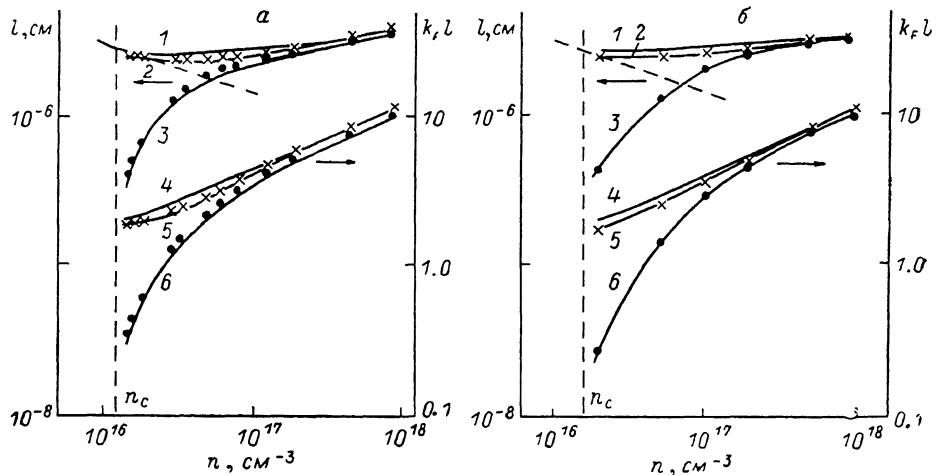


Рис. 2. Зависимость длины свободного пробега l и $k_F l$ от концентрации носителей тока в n -GaAs (a) и n -InP (b).

1, 4 — расчет по теории Больцмана, 2, 5 — расчет по эксперименту с учетом квантовых поправок, 3, 6 — эксперимент. Штриховые линии — межпримесное расстояние $a = n^{-1/3}$, отсчитанное по оси l .

альному металлу с большинством проводимостью $\sigma_s \approx \sigma_B$; вблизи $k_F l \sim 1$ наступает переход М—Д. Если $k_F l$ считать прямо из эксперимента, то значения $k_F l \sim 1$ достигаются гораздо раньше реального перехода, а вблизи перехода (но в металлической области) оказывается $k_F l \ll 1$ (рис. 2, кривая 6), что для свободных электронов не имеет смысла. Если же пользоваться величиной $k_F l$ с большинством значением l (рис. 2, кривые 4, 5), то переход М—Д оказывается лежащим именно вблизи $k_F l \sim 1$ и вся картина изменений σ и $k_F l$ вблизи перехода хорошо укладывается в теоретическую.

В заключение авторы выражают благодарность Т. А. Полянской и А. Г. Аронову за ценные замечания и дискуссию.

Л и т е р а т у р а

- [1] Altshuler B. L., Aronov A. G. — In: Modern Problems in Condensed Matter Science / Ed. by A. L. Efros, M. Pollak. Amsterdam, 1985, p. 1—153.
- [2] Kaveh M., Mott N. — J. Phys. C: Sol. St. Phys., 1983, v. 16, N 29, p. 1067—1072.
- [3] Bhatt R. N., Ramakrishnan T. V. — Phys. Rev. B, 1983, v. 28, N 15, p. 6091—6094.

Физико-технический институт
им. А. Ф. Иоффе АН СССР
Ленинград

Получена 1.10.1986
Принята к печати 5.01.1988